

# ریز رخساره ها و پالئواکولوژی سازند آسماری در یال جنوب شرقی تاقدیس خامی (شرق گچساران) و مقایسه با دو برش دیگر از سازند آسماری در حوضه زاگرس

همتا رنجبر ، علی صیرفیان ، حسین وزیری مقدم ، علی رحمانی

۱ کارشناسی ارشد چینه و فسیل، گروه زمین شناسی، دانشکده علوم، دانشگاه اصفهان، اصفهان

۲،۳ استاد گروه زمین شناسی، دانشکده علوم، دانشگاه اصفهان، اصفهان

۴ اهواز- شرکت ملی نفت ایران-مناطق نفت خیز جنوب

Hamta.ranjbar@gmail.com

دریافت شهریور ۱۳۹۳، پذیرش آبان

## چکیده

به منظور مشخص شدن ویژگی های رخساره ای و شرایط پالئواکولوژیکی حاکم بر محیط رسوبگذاری سازند آسماری، برش یال جنوب شرقی تاقدیس خامی با ضخامت ۲۷۰ متر مورد مطالعه قرار گرفته است. مطالعات آزمایشگاهی و بررسیهای صحرایی منجر به شناسایی ۱۲ ریز رخساره شامل: نومولیتیده لپیدوسیکلینا پکستون/رودستون، بایوکلاست کورالیناسه آ بتیک فرامینیفرا (منفذدار) پکستون، بایوکلاست کورالیناسه آ نثوروتالیا پکستون، اثید گرینستون، بایوکلاست گرینستون، میلیولیدا روتالیا نومولیتیده پکستون، میلیولیدا کورالیناسه آ کورال فلوستون/گرینستون، بایوکلاست بتیک فرامینیفرا (بدون منفذ) پکستون/گرینستون، میلیولیدا اکینید وکستون/پکستون، دندریتینا میلیولیدا پلورئیال پکستون/گرینستون، مادستون کوارتزدار و مادستون ایترکلاست دار گردید که در قسمت های سراشیب قاره، سد، لاگون و پهنه جزرو مدى رسوبگذاری کرده اند. مادستون تحت رژیم غذایی الیگوترووفی-مزوتروفی ضعیف تا یوتروفی در مدت زمان (شاتین تا بوردیگالین) در یک بطور کلی این رسوبات تحت ۳۴ نوع متفاوت از شوری از ۵۰ psu تا بیش از ۳۶ psu در محیطی با زون نوری الیگوفوتیک تا یوفوتیک و تحت رژیم غذایی الیگوترووفی-مزوتروفی ضعیف تا یوتروفی در مدت زمان (شاتین تا بوردیگالین) در یک پلاتفرم کربناته از نوع رمپ هموکلینال تشکیل شده اند. مقایسه سازند آسماری در برش مورد مطالعه (شرق گچساران) با دو برش دیگر (جنوب فیروزآباد و شمال گچساران) حاکی از رسوبگذاری سازند آسماری در محیط دریایی با شوری نرمال در جنوب فیروزآباد در زمان روپلین می باشد. محیط دریایی با شوری نرمال در زمان شاتین در ناحیه گچساران توسعه یافته و افزایش شوری محیط در ناحیه فیروزآباد در همین زمان محسوس می گردد. ناحیه گچساران در زمان آکی تانین و بوردیگالین نیز با افزایش شوری محیط مواجه بوده است.

واژه های کلیدی: سازند آسماری، ریز رخساره ها، پالئواکولوژی، شرق گچساران.

## ۱. مقدمه

سازند آسماری به عنوان سنگ مخزن نفت در حوضه زاگرس در طول یک پلتفرم کربناته نهشته شده است. این سازند بیشترین میزان ذخیره نفت را در ایران دارد و علاوه بر این، از آن بعنوان یک سنگ مخزن کربناته شاخص در جهان یاد میشود [۱]. این سازند اولین بار به ردیفی از سنگهای دربرگیرنده به سن کرتاسه تا ائوسن اطلاق شد [۲] و با اضافه شدن یک واحد توده ای آهک نومولیت دار، سن آن الیگومیوسن تعیین گردید [۳]. توماس [۴] نخستین تعریف را از این سازند ارائه نمود و آنرا توالی کربناته الیگو-میوسن نامید. به دنبال آن جیمز و وایند [۵]، آدامز و بورژوا [۶]، کلانتری [۷] و مطیعی [۸]، با مطالعه پژوهشها قبلی مشخصات دیرینه شناسی و سنگ شناسی آنرا آرائه نمودند. برش نمونه این سازند توالی ضخیمی از سنگهای کربناته با ضخامت ۳۱۴ متر می باشد که در لابلای آنها طبقات شیلی نیز دیده می شود [۳]. این توالی آهکی بر مبنای پراکندگی روزنداران بزرگ کفسی و چینه نگاری ایزوتوپ استرانسیوم به سن روپلین-میوسن پیشین می باشد [۹]. میکروفاسیس ها و محیط رسوبگذاری سازند آسماری در ناحیه دهدز [۱۰] در شمال زاگرس مرکزی توسط [۱۱]، در شمال گچساران (تاقدیس دل) [۱۲]، شناسایی میکروفاسیلها و پالئواکولوژی این سازند در تاقدیس خویز [۱۳]، پالئواکولوژی و زیست چینه نگاری این سازند در فارس (تاقدیس ناورا) [۱۴]، از جمله تحقیقات اخیر انجام شده در ارتباط با این سازند می باشد. سن قاعده و راس سازند آسماری از سمت شرق(منطقه فارس) تا به سمت مرکز حوضه (لرستان) از الیگوسن تا میوسن متغیر می باشد. علاوه بر تغییرات سنی، رخساره های این سازند در نقاط مختلف حوضه زاگرس نیز متنوع و متغیر می باشند. بدین منظور و با توجه به اهمیت این سازند از لحاظ اقتصادی به عنوان سنگ مخزن نفت، پژوهشها بیشتر در نواحی مختلف زاگرس به منظور شناخت دقیق تر آن ضرورت می یابد. برش مورد مطالعه در این تحقیق در یال جنوب شرقی تاقدیس خامی (شرق گچساران) با هدف مشخص نمودن رخساره های موجود، محتويات فسیلی به منظور تعیین سن و بررسی برخی فاکتورهای پالئواکولوژی بر مبنای تغییرات ریز رخساره ها مورد مطالعه قرار گرفته است.

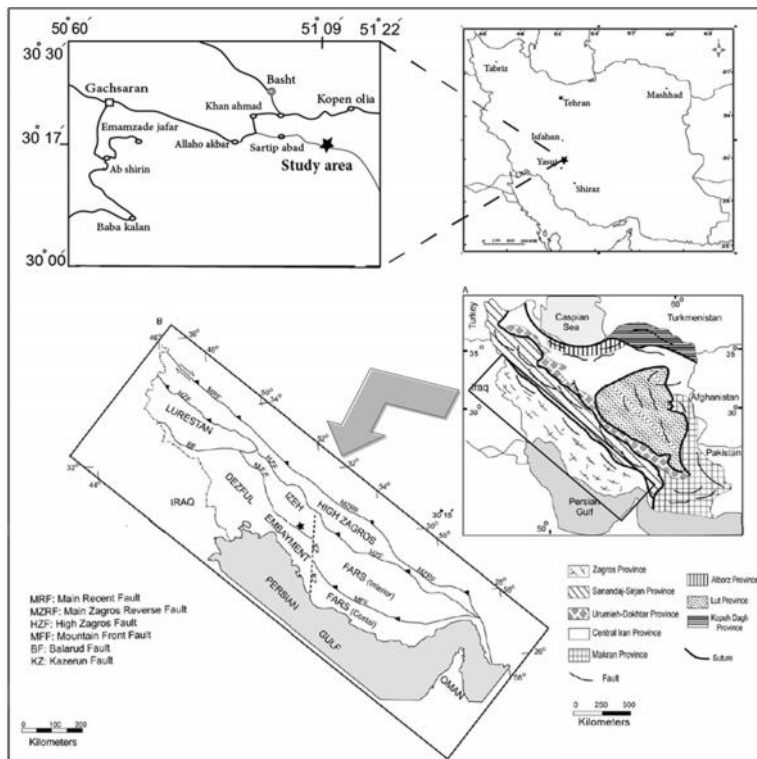
## ۲. روش کار و موقعیت منطقه مورد نظر

منطقه مورد مطالعه در مجاورت روستای سرتیپ آباد در ۳۵ کیلومتری شرق گچساران از توابع استان کهکیلویه و بویراحمد واقع شده است. این منطقه با مختصات  $۳۰^{\circ}$  شمالي و  $۹۰^{\circ}$  شرقی در یال جنوب شرقی تاقدیس خامی و در پهنه ایذه از حوضه زاگرس قرار دارد (شکل ۱).

با یافتن رخنمون مناسب از این سازند تعداد ۱۶۳ نمونه از ضخامت تقریبی ۲۷۰ متری با فواصل منظم ۱ تا ۲ متری برداشت گردید. مرز تحتانی این سازند در منطقه مورد نظر پوشیده بوده و نمونه برداری با نمایان شدن اولین لایه های آهکی واقع در قاعده سازند آسماری صورت گرفته است. مرزهای بالایی این سازند با سازند گچساران بصورت هم شیب می باشد. پس از برداشت های صحرایی، از نمونه ها مقطع نازک تهیه گردید. این مقاطع از لحاظ سنگ شناسی و دیرینه شناسی برای تعیین میکروفاسیسها بررسی گردید. در این مطالعات نوع دانه های کربناته، بافت و مورفولوژی روزنдарان به منظور پی بردن به شرایط حاکم بر محیط رسوبگذاری نیز مورد توجه قرار گرفته است و طبقه بندي سنگهای کربناته براساس روش دانهام <sup>۱</sup> و امبری و کلوان (۱۹۷۱) <sup>۲</sup> انجام شده است.

<sup>1</sup> Dunham (1962)

<sup>2</sup> Embry and Klovan (1971)



شکل ۱) a- موقعیت جغرافیایی و راههای دسترسی به منطقه مورد نظر با مقیاس ۱:۱۰۰۰۰۰، b- موقعیت برش مورد مطالعه در حوضه زاگرس [۱۶].

### ۳. بحث و بررسی

#### ۳-۱. معرفی ریزرخساره ها

هدف از مطالعات میکروfasیس ها شناسایی الگوهایی برای تشریح تاریخچه سنگهای کربناته است که با مطالعه روی خصوصیات فسیل شناسی و رسوب شناسی بدست می آید. برای شناسایی ریز رخساره ها و تفکیک آنها به مطالعه مقاطع نازک پرداخته می شود[۱۸]. با در نظر گرفتن اجزای تشکیل دهنده و بافت این مقاطع میکروفسکوپی ۱۲ ریزرخساره (در این تحقیق با پیش شماره A1 تا A12 شناسایی گردید که متعلق به ۴ محیط دیرینه شامل دریایی باز، سد و لاجون است. این ریزرخساره ها عبارتند از:

#### A1) نومولیتیده لپیدوسیکلینا پکستون

اجزای اصلی تشکیل دهنده این ریز رخساره شامل لپیدوسیکلیناهای بزرگ و کشیده و فرامینیفرهایی از خانواده نومولیتیده شامل اسپرولکلیپتوس، هتروستزینا و اپرکولینا می باشند که اغلب آنها سالم و بدون شکستگی هستند. قطعاتی از جلبک قرمز، اکینید، بریوزوئر و دوکفه ای بصورت پراکنده حضور دارند. علاوه بر این عناصر الفیدیوم، تکستولاریا و آمفی ستزینا درصد کمی از این ریز رخساره را شامل می گردند. اندازه لپیدوسیکلیناهای موجود در این ریز رخساره گاه تا حد چند سانتی متر می رسد بطوریکه در مشاهدات صحرایی با چشم غیر مسلح قابل رویت بوده اند. سازندگان این ریز رخساره در زمینه ای گلی با بافت پکستون قرار گرفته اند (شکل ۲a).

تفسیر- حضور فراوان فرامینیفرهای بزرگ که اغلب آنها سالم می باشند گویای انرژی پایین آب و نشانگر شوری نرمال آب اقیانوسی می باشد [۲۰-۱۹]. با توجه به کشیدگی لپیدو-سیکلیناها و انواع میکرو-سفریک بزرگ می توانیم محیط تشکیل این ریز رخساره را به بخش‌های عمیق محدوده زیستی در دریای باز نسبت دهیم [۲۱].

#### (A2) بایوکلاست کورالیناسه آ، بتیک فرامینیفرا (منفذ دار) پکستون

فونای غالب این ریز رخساره را فرامینیفرهایی با پوسته هیالین نظیر هتروسترنینا، اسپیرو-کلیپئوس، روتالیا و آمفی ستزینا و قطعاتی از جلبک‌های قرمز تشکیل می دهند. قطعاتی از دوکفه‌ای، اکینید و بریوزوئر از بایوکلاستهای آن محسوب می گردند. علاوه بر این اجزا فرامینیفرهایی از قبیل میوزیپسینوئیدس، الفیدیوم و اسفائر-و-زیپسینا بعنوان عناصر فرعی در این ریز رخساره حضور دارند. فرامینیفرهای بتیک این ریز رخساره را اشکالی با پوسته کوچکتر و عدی تر نسبت به میکروفاسیس ۱ تشکیل می دهند. اجزای سازنده این میکروفاسیس در زمینه‌ای با بافت دانه پشتیبان قرار گرفته اند(شکل ۲b).

تفسیر- فرامینیفرهایی با پوسته ضخیم و متوسط منعکس کننده آبهای کم عمق تری نسبت به پوسته‌های بزرگ و پهن هیالین می باشند [۲۳-۲۲]. از این لحاظ می توان محیط تشکیل این ریز رخساره را در قسمتهای کم عمق تری نسبت به میکروفاسیس ۱ در دریای باز درنظر گرفت.

#### (A3) بایوکلاست کورالیناسه آ نئورو-تالیا پکستون

محوتیات سازنده این ریز رخساره را نئورو-تالیاهایی با پوسته ضخیم همراه با قطعاتی از جلبک قرمز، اکینید، تشکیل می دهند. فرامینیفرهایی از قبیل الفیدیوم، میوزیپسینوئیدس، هتروسترنینا و آمفی ستزینا نیز بعنوان عناصر فرعی این ریز رخساره در نظرگرفته می شوند. زمینه این ریز رخساره از قطعات خردشده کورالیناسه آ، اکینید، دوکفه‌ای و بریوزوئر تشکیل شده است (شکل ۲c).

تفسیر- روتالیدها در محیط‌های کم عمق و متلاطم دریایی فراوانتر می باشند [۲۱]. ریز رخساره فوق نشانگر انرژی زیاد محیط با سایش و خردشگی زیاد اجزای اسکلتی است. با توجه به فراوانی روتالیاها و همراهی آنها با کورالیناسه آ و عدم حضور میکروفاسیلهای لاگونی این ریز رخساره را می توان به بخش‌های کم عمق دریایی باز و مجاور سد نسبت داد [۲۰].

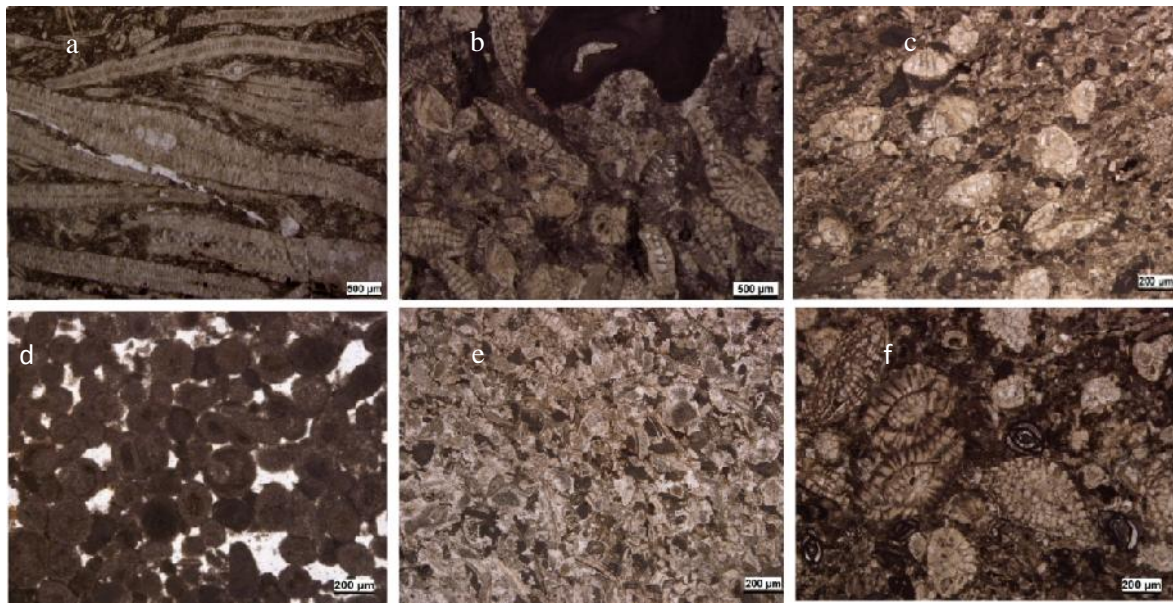
#### (A4) ائید گرینستون

دانه‌های گرد و جورشده ائید اجزای اصلی این ریز رخساره را تشکیل می دهندکه در زمینه‌ای از سیمان اسپاریت قرار گرفته اند. ائیدهای موجود در این ریز رخساره دارای لامیناسیون مماسی بوده و برخی آنها نیز تحت تاثیر دیاژنز قرار گرفته اند (شکل ۲d). تفسیر- حضور ائید‌ها نشانگر محیط‌های پرانرژی می باشد [۱۸]. با توجه به بافت تشکیل دهنده این ریز رخساره و حضور فراوان دانه‌های ائیدی و همچنین براساس میکروفاسیلهای استاندارد [۲۴-۱۸]، محیط این ریز رخساره را به سد ائیدی نسبت داد که جدا کننده محیط دریایی باز از محیط دریایی محصور می باشد.

#### (A5) بایوکلاستیک گرینستون

خرده‌های اسکلتی اکینید، کورالیناسه آ، بریوزوئر و دوکفه‌ای که فضای بین آنها با سیمان اسپاریت پر شده است، اجزای اصلی این ریز رخساره را شامل می گردند. علاوه بر این اجزا فرامینیفرهایی از قبیل میلیولید‌ها، تکستولاریا و الفیدیوم با درصد کمی در این ریز رخساره حضور دارند. دانه‌های تشکیل دهنده این ریز رخساره دارای جورشده‌گی خوبی می باشند (شکل ۲e).

تفسیر- براساس شباهت این ریز رخساره با میکروفاسیلهای استاندارد توصیف شده [۱۸-۲۴]، می توان محیط تشکیل این ریز رخساره را در شرایط انرژی بالا تپه‌های سدی و بالای خط اثر امواج و تشکیل دهنده سد بیوکلاستی در نظر گرفت.



شکل ۲- a- نومولیتیده لپیدو سیکلینا پکستون/ رو دستون (نمونه ۸)، b- بايوکلاست کورالیناسه آ، بتیک فرامینیفرا (منفذ دار) پکستون (نمونه ۶۷)، c- بايوکلاست کورالیناسه آ نوروتالیا پکستون (نمونه ۶۱)، d- ائید گرینستون (نمونه ۱۶۷)، e- بايوکلاستیک گرینستون (نمونه ۲۲)، f- میلیولیدا روتالیا نومولیتیده پکستون (نمونه ۷۲).

#### (A6) میلیولیدا روتالیا نومولیتیده پکستون

عناصر اصلی موجود در این ریز رخساره را روزنendarانی با دیواره منفذ دار مانند اسپیروکلیپسوس، هتروستزینا و روتالیا ها با پوسته های ضخیم به همراه فرامینیفرهای با پوسته پورسلانوز که بیشتر شامل میلیولید ها است تشکیل می دهند. بايوکلاستهای سازنده این ریز رخساره شامل قطعات اکینید و پوسته دوکفه ای می باشند. قطعاتی از کورالیناسه آ نیز جز اجزای فرعی تشکیل دهنده آن محسوب می گردد. از عناصر فرعی دیگر این ریز رخساره می توان به ولولینید، الفیدیوم، تکستولاریا و آمفی ستزینا اشاره نمود (شکل ۲f). ریز رخساره فوق گاه با غالب شدن روتالیاها به همراه میلیولیدها، به بايوکلاست میلیولید روتالیا پکستون تغییر می نماید.

تفسیر- روزنendarانی با دیواره هیالین آبهایی با شوری نرمал دریایی را برای زیست ترجیح می دهد ولی روزنendarانی با دیواره پورسلانوز آبهایی کم عمق لاگونی و شوریهای بالاتر را برای زیست انتخاب می کنند [۲۵-۲۶-۲۱]. با توجه به این امر حضور همزمان فونهای دریایی باز (منفذداران) و فونهای و فونهای محیط محصورتر نظیر میلیولید ها رسوبگذاری را در لاگون نیمه محصور نشان می دهد [۲۷]. ریز رخساره فوق را می توان به قسمتهای پایین زون نوردار فرقانی نسبت داد [۲۸].

#### (A7) میلیولیدا کورالیناسه آ کورال فلوتستون/ گرینستون

اجزای تشکیل دهنده این ریز رخساره شامل قطعاتی از کورال، کورالیناسه آ به همراه فرامهای پورسلانوزی چون میلیولیدها می باشد. بافت سنگ از نوع دانه تا گل پشتیبان بوده و از گرینستون تا فلوتستون متغیر می باشد. الفیدیوم، پنروپلیس، آمفی ستزینا، خرد هایی از دوکفه ای، روتالیا و مئاندرپوپسینا به عنوان عناصر فرعی در آن حضور دارند (شکل ۳a). گاه این ریز رخساره شامل خرد های مرجانهای درشت و میلیولیدها می باشند که در زمینه ای از بافت فلوتستون قرار گرفته اند. تفسیر- این ریز رخساره به لحاظ حضور قطعات کورال و کورالیناسه آ و همچنین نبود ساختمان ریف در صحراء ریف قابل تشخیص است [۲۹]. خرد های کورال موجود ممکن است از ریفهای تکه ای مجاور حمل شده و یا به صورت برجا از کلنی های منفرد و تکه ای که به رشد در محیط لاگونی شناخته شده اند، ایجاد شده باشند [۱۲]. با توجه به حضور

میلیولیدها و همچنین موقعیت چینه نگاری، به یک تالاب نسبت داده می شود. حضور میلیولیدها (محیط شور تا فوق شور) و مرجان (شوری نرمال) در کنار یکدیگر نشانگر محیط لاغون نیمه محصور و قرارگیری این ریز رخساره در بخش بالایی زون یوفوتیک می باشد [۳۰].

#### (A8) بایوکلاست بتیک فرامینیفرا (بدون منفذ) پکستون/گرینستون

حضور بی منفذانی از قبیل میلیولید، پنروپلیس، دندریتینا و آرکیاس بخش عمده روزنداران موجود در این ریز رخساره را شامل می گردند که مقدار آنها در مقاطع مختلف متغیر می باشد. در این ریز رخساره قطعاتی از کورالیناسه آ، بریوزوئر، اکینید و تعدادی پوسته شکم پا به همراه روزنداران این ریز رخساره مشاهده گشته است. ولوینید، آمفی ستیننا، روتابیا، الفیدیوم، بورلیس، تکستولاریا و دیسکوریس بعنوان اجزای فرعی این ریز رخساره محسوب می گردند. اجزای تشکیل دهنده این ریز رخساره در زمینه ای با بافت پکستون تا گرینستون قرار گرفته اند (شکل ۳b).

تفسیر- امروزه فرامینیفرهای پورسلانوزی از قبیل آرکیاس و پنروپلیس در مناطق حاره ای و نیمه حاره ای و در محیط های کم عمق دریایی فراوانتر می باشند [۳۱]. این فرامینیفرهایی از دلیل رابطه همزیستی با جلبکها در محیط هایی با شوری زیاد قادر به زندگی نمی باشند [۳۲]. فرامینیفرهایی از قبیل آرکیاس و پنروپلیس در این میکروفاسیس می تواند نشانگر قرار گرفتن در قسمت علفزارهای دریایی باشد [۳۳]. با توجه به بافت سنگ و حضور متنوعی از فرامینیفرهای بتیک بدون منفذ همراه با حضور اندک فرامینیفرهای هیالین و فونهای دریایی باز، می توان جایگاه این ریز رخساره در قسمتهای پرانژی تر یک لاغون نیمه محصور در نظر گرفت که جریانهایی با انرژی متوسط تا بالا توانسته است بخشی از گل کربناته را از این محیط خارج کند [۲۴].

#### (A9) میلیولیدا اکینید و کستون/پکستون

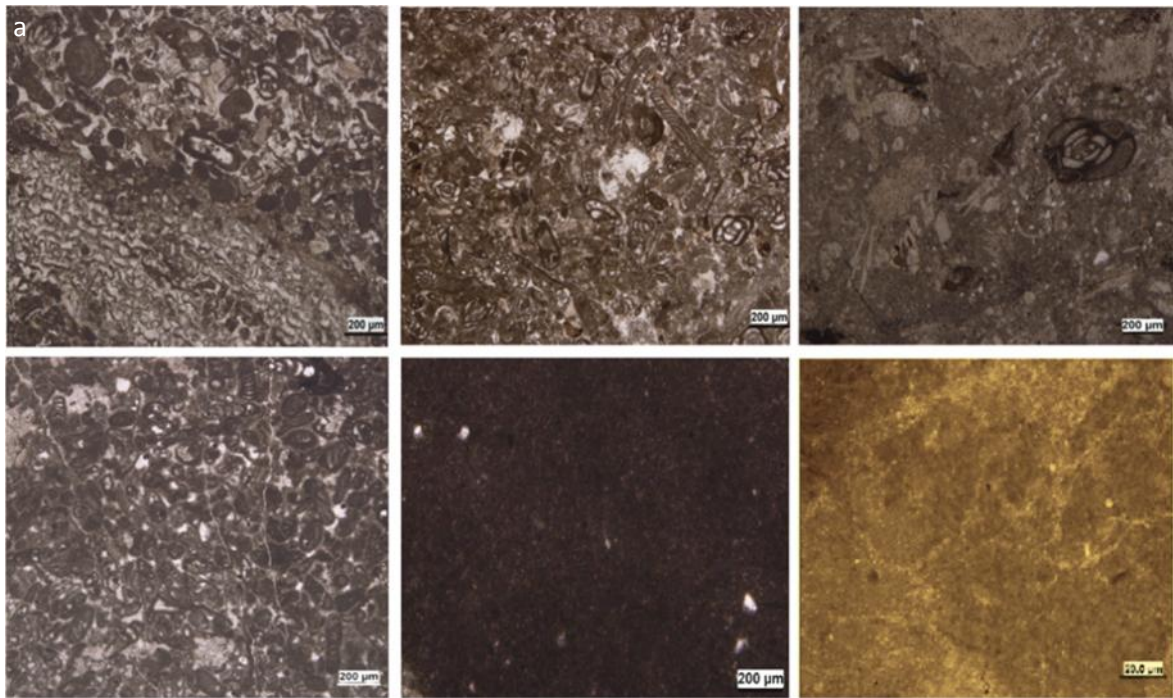
اجزای اصلی تشکیل دهنده این ریز رخساره بایوکلاستهایی از قبیل اکینید همراه با میلیولیدها می باشند که در زمینه ای گلی با بافت وکستون تا پکستون تجمع یافته اند. قطعات دوکفه ای، الفیدیوم، آمفی ستیننا، روتابیاهای کوچک، دیسکوریس و دانه های کوارتز از اجزای فرعی این ریز رخساره محسوب می گردند. (شکل ۳c).

تفسیر- حضور فونهای دریایی باز مانند روتابیا، آمفی ستیننا، الفیدیوم و اکینید همراه با فونهای لاغونی مانند میلیولیدها گویای رسوبگذاری این ریز رخساره در یک لاغون نیمه محصور و مرتبط با دریایی باز می باشد [۲۶].

#### (A10) دندریتینا میلیولیدا پلوئیدال پکستون/گرینستون

محتویات عمده این ریز رخساره شامل فرامینیفرهای پورسلانوزی چون میلیولیدها، دندریتینا و پلوئیدها می باشند. دانه ها اغلب دارای جورشده گی خوبی می باشند و در زمینه ای با بافت پکستون تا گرینستون قرار گرفته اند (شکل ۳d).

تفسیر- ریز رخساره فوق بدلیل تنوع کم فرامینیفرهای پورسلانوز و همچنین عدم حضور فونهای دریایی باز در یک لاغون محصور رسوبگذاری کرده است. این میکرو فاسیس را می توان به قسمتهای کم عمق زون یوفوتیک در محیط لاغونی نسبت داد [۲۵-۲۶].



شکل (۳) a- میلیولیدا کورالیناسه آکورال فلواتستون/گرینستون (نمونه ۱۰۰)، b- بایوکلاست بتیک فرامینیفرا (بدون منفذ) پکستون/گرینستون (نمونه ۱۵۲)، c- میلیولیدا اکینید وکستون/پکستون (نمونه ۱۸۴)، d- دندربیتینا میلیولیدا پلوئیدال پکستون/گرینستون (نمونه ۲۱۸)، e- مادستون کوارتزدار (نمونه ۱۸۸)، f- مادستون ایتراتکلاست دار (نمونه ۲۴۸).

**(A11) مادستون کوارتز دار - گل آهکی زمینه اصلی این ریز رخساره را تشکیل می دهد که دانه های کوارتز بطور پراکنده در آن حضور یافته اند (شکل ۳e).**

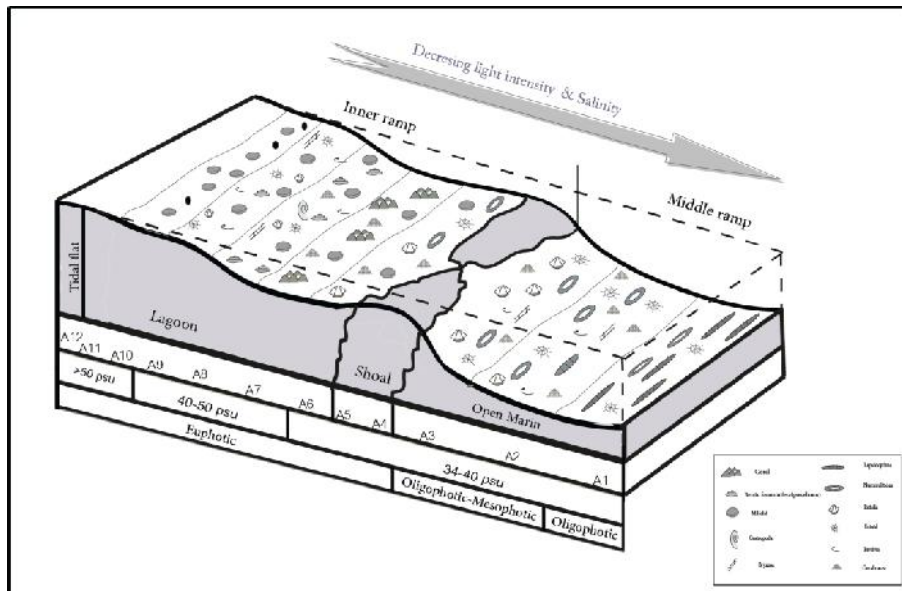
تفسیر- فراوانی گل کربناته، حضور دانه های ریز کوارتز، فقدان فونهای فسیلی، نبود ساختارهای خروج از آب و ارتباط آن با رخساره های لاگونی حاکی از تشکیل این ریز رخساره در قسمتهای کم عمق لاگون به سمت ساحل می باشد [۱۸]. حضور دانه های کوارتز در یک زمینه میکرایتی در این ریز رخساره گویای لاگون محصور شده می باشد [۳۵].

**(A12) مادستون ایتراتکلاست دار - محتویات این ریز رخساره از گل و ایتراتکلاستهای گلی تشکیل گشته است.**  
اندازه این ایتراتکلاستها از کوچک تا بزرگ متغیر می باشند (شکل ۳f).

با توجه به شواهد صحرایی و خصوصیات میکروسکوپی و نحوه قرار گیری این ریز رخساره در توالی به نظر می رسد که مادستون مذکور برای مدت کوتاهی در مجاورت سطح آب قرار گرفته و یا حتی از آب خارج شده است بطوریکه گل با از دست دادن آب خرد شده است. از این لحاظ ریز رخساره مذکور را می توان به محیط جزر و مدی نسبت داد.

## ۲-۳. مدل رسوبی

بر مبنای ریز رخساره های شناسایی شده و روند گسترش آنها، تبدیل شدن تدریجی ریز رخساره ها به یکدیگر، نبود ساختارهای ریزشی و لغزشی، حضور سدهای اثیدی و بیوکلاستی و همچنین عدم گسترش ریفها به صورت توده ای می توان محیط تشکیل سازند آسماری در منطقه مورد نظر را به یک رمپ هموکلینال نسبت داد (شکل ۴).



شکل ۴) مدل رسوی پیشنهاد شده برای سازند آسماری در برش یال جنوب شرقی تاقدیس خامی

### ۳-۳. بیوزوناسیون

سن سازند آسماری در برش مورد مطالعه براساس پراکندگی فرامینیفرهای بتیک و مقایسه با بیوزونهای ارائه شده توسط لارسن و همکاران [۱۷]، شاتین تا بوردیگالین تعیین گردید. اجتماعی از فرامینیفرهای بتیک در این برش شناسایی شد که در ۴ زون تجمعی قرار گرفته اند (شکل ۵). این زون های تجمعی از قاعده تا انتهای به ترتیب شامل:

*Archaias asmaricus-Archaias hensoni-Miogypsinoide s.* (شاتین)، *Lepidocyclus-Operculina-Ditrupa Borelis melo curdica, Miogypsina, Peneroplis farsensis- Elphidium sp. 14 complanatus* (آکی تانین)، *Borelis melo melo* (بوردیگالین) می باشند.

### ۳-۴. بررسی برخی از عوامل پالئولوژیکی در منطقه مورد مطالعه

در پلتفرم های کربناته سنوزوئیک روزنداران سنگواره از شاخص ترین نشانه های دیرینه محیطی محسوب می شوند. در این بین رابطه ظریفی میان مجموعه جنس های روزنداران و نوع رخساره وجود دارد. زیرا توزیع آنها در سکوهای کربناته به عوامل گوناگونی مانند عمق، نور و ماهیت کف بستر بستگی دارد. به این دلیل روزنداران نشانه های عالی برای بازسازی محیط محسوب می گردد [۲۵]. در اینجا به بررسی برخی از عوامل کنترل کننده در توزیع دانه های کربناته بویژه فرامینیفرهای کفزی بزرگ به عنوان مهمترین گروه فسیلی در سازند آسماری که ابزاری مناسب درخصوص بازسازی محیط دیرینه و تغییرات محیطی می باشد، پرداخته می گردد.

### ۳-۴-۱. شوری

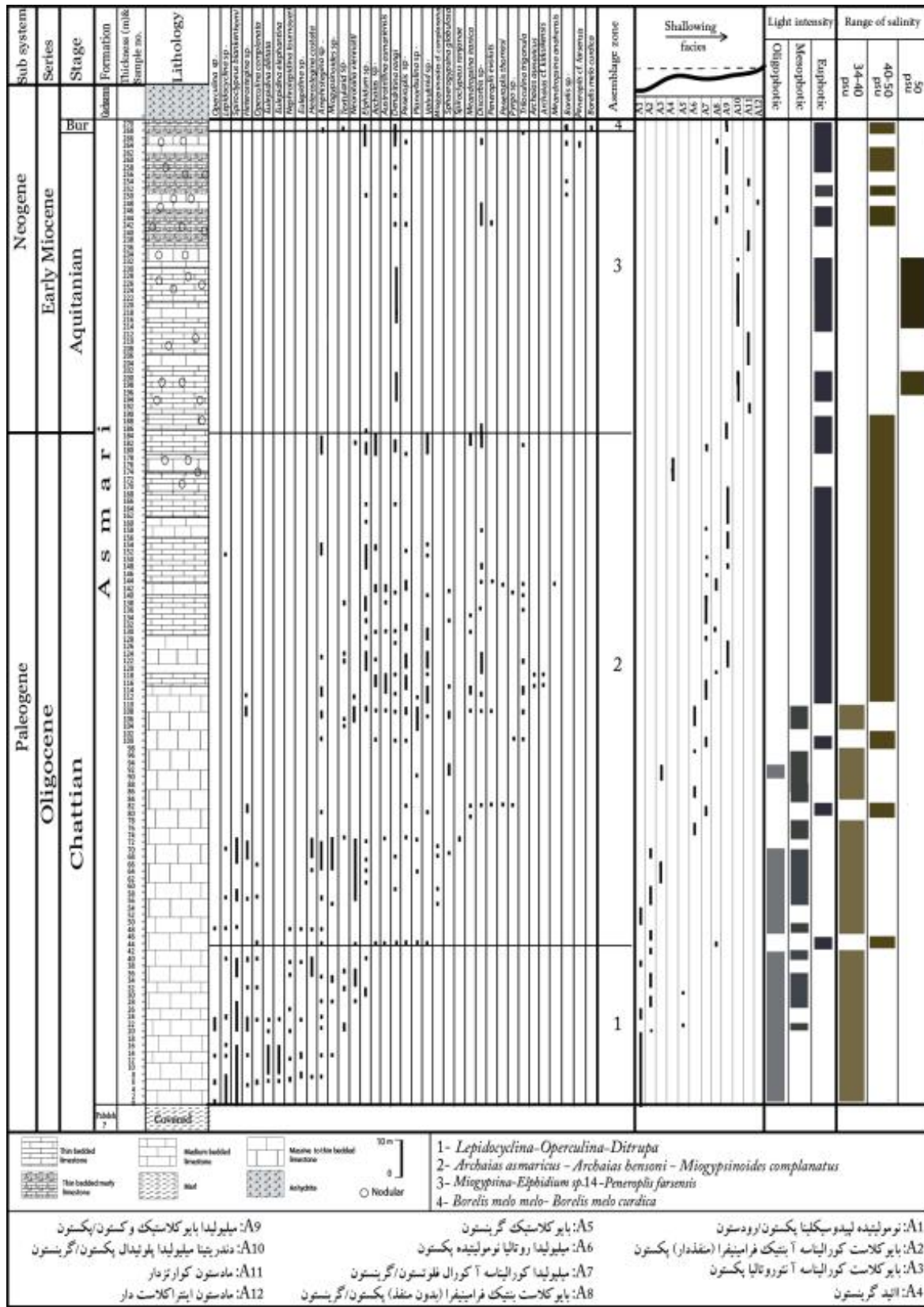
بر مبنای توزیع ارگانیزم ها نسبت به شوری آب دریا و با توجه به مطالعات مصدق و لوگان [۳۵-۳۶]، ۳ حالت متفاوت شوری را می توان برای منطقه مورد مطالعه بر حسب<sup>۱</sup> psu تحقیک نمود.

<sup>۱</sup> practical salinity unit

**شوری psu ۳۴-۴۰** این محدوده شوری نرمال آب دریا را نشان می دهد و با حضور فرامهای هیالین مشخص می گردد. ریز رخساره های A1 تا A3 را با توجه به داشتن تنوع بالایی از فرامهای هیالین از قبیل لپیدوسيکلینها، خانواده نومولیتیده، آمفی سترینا و روتالیاهای همراه با خرد هایی از کورالیناسه آ، اکینید و بریوزوئر گویای چنین محدوده ای از شوری می باشند. اگر چه درصد فراوانی فرامهای پورسلانوز اگر از ۳۰٪ کل اجزای تشکیل دهنده کمتر باشد نیز در این محدوده قرار می گیرد. بنابراین ریز رخساره A5 و A6 را با توجه به حضور کمتر از ۳۰٪ فرامهای پورسلانوز و غالب بودن فرمهای هیالین و دریایی باز در آن می توان جز این محدوده از شوری قرار گیرند. با توجه به شکل ۵، رسوبگذاری سازند آسماری از قاعده تا ضخامت ۱۱۰ متری بطور عمده در محیطی با شوری psu ۳۴-۴۰ صورت گرفته است. حدفاصل مذکور در زمان شاتین تشکیل شده است.

**شوری psu ۴۰-۵۰** این محدوده از شوری با حضور فراوان فرمهای پورسلانوز (۵۶٪ ± ۲۱٪ از کل فرامینیفرها)، حضور فرامهای آگلوتینه یا خرد های اکینید و یک افزایش تنوع در دانه های بیوزنیک مشخص می گردد. در این محدوده تنوع کمی از فرامهای هیالین می تواند حضور داشته باشد. محدوده فوق منعکس کننده شوری بالا در لاجون نیمه محصور می باشد [۳۲]. با توجه به این تفاسیر ریز رخساره های A7، A8 و A9 گویای چنین محدوده ای از شوری باشند. با توجه به شکل ۵، قسمتهای میانی (از ضخامت ۱۱۰ تا ۱۹۰ متری) و بالایی (از ضخامت ۲۴۲ تا انتهای برش سازند آسماری به طور عمده در محیطی با شوری psu ۴۰-۵۰ رسوب نموده است. این شوری در زمان های شاتین، انتهای آکی تانین و بوردیگالین رخ داده است. به عبارت دیگر محیط لاجون نیمه محصور در زمانهای مذکور گسترده بوده است (شکل ۴).

**شوری بیش از psu ۵۰ (هیپرسالین)** در این محدوده از شوری قطعات مولوسکا و فرامینیفرهای پورسلانوز حضور دارند که بیشتر از ۸۰٪ کل فرامینیفرهای موجود می باشند. خرد های اکینید، فرامهای آگلوتینه و فرامینیفرهایی با دیواره هیالین غایب می باشند. این محدوده مشخصه لاجون محصور می باشد و میلیولیدها نیز از فون های غالب در این محدوده می باشند [۳۲].



شکل ۵) پراکندگی فرآیندیرهای کفزی، میکروفاسیس‌ها، روند تغییرات شوری و نور سازند آسماری در برش یال جنوب شرقی تاقدیس خامی.

**شوری بیش از ۵۰ psu (هیپرسالین)** در این محدوده از شوری قطعات مولوسکا و فرامینیفرهای پورسلانوز حضور دارند که بیشتر از ۸۰٪ کل فرامینیفرهای موجود می‌باشدند. خرده‌های اکینید، فرامهای آگلوتینه و فرامینیفرهایی با دیواره هیالین غایب می‌باشند. این محدوده مشخصه لاغون محصور می‌باشد و میلیولیدها نیز از فون‌های غالب در این محدوده می‌باشند [۳۲].

با توجه به این تفاسیر ریز رخساره A9 را با توجه به حضور فرمهای پورسلانوز از قبیل میلیولیدها و دندریتینا و نبود خردۀ های اکینید و فونهای دریایی باز می‌توان در این محدوده قرار داد. ریز رخساره A10 را با توجه به فقدان فونهای فسیلی و بافت مادستون گویای نبود شرایط مناسب برای زیست موجودات می‌باشد که می‌توان آن را به این محدوده شوری از نسبت داد. براین اساس و با توجه به شکل ۵، از ضخامت ۱۸۸ تا ۲۴۰ متری در محیطی با شوری بیشتر از ۵۰ psu رسویگداری نموده است. حدفاصل مذکور در زمان آکی تانین تشکیل گردیده است. محیط لاغون محصور در این زمان گسترده بوده است (شکل ۴).

### ۴-۲ نور

تولید کربنات بطور مستقیم و غیر مستقیم وابسته به نفوذ نور در ستون آب می‌باشد. شدت نور در دریاهای توسط شفافیت و عمق آب کنترل می‌گردد، چرا که با افزایش عمق از شدت نور کاسته می‌شود و بر شفافیت آب افزوده می‌گردد [۳۷]. بر مبنای حضور ارگانیزم‌ها، نواحی نوری در آب دریا به بخش‌های الیگوفوتیک (نور کم)، مزوفووتیک (نور متوسط)، یوفوتیک (نور زیاد) و افوتیک (بدون نور) تقسیم می‌گردد [۲۰]. سه زون نوردار در بررس مورد مطالعه تفکیک شده است که شامل:

#### زون الیگوفوتیک

موجودات متعلق به چنین محیطی با میزان نفوذ کم نور مانند مناطق کم عمق سایه دار یا قسمتهای عمیق تر فلات قاره زیست می‌نمایند. جلبک‌های قرمز و تعدادی از فرامینیفرهای بزرگ شاخص این محیط می‌باشند [۲۰]. روزنداران بتیک بزرگ که دارای همزیست جلبکی هستند به منظور استفاده از میزان کم نور در این محدوده، مورفولوژی پوسته خود را برای حداقل جذب نور تطبیق داده و پهن تر و نازکتر می‌گردد [۳۵]. این محدوده با زون نوردار تحتانی از باسی و همکاران [۲۸] مطابقت می‌نماید. با توجه به این تفاسیر ریز رخساره A1 را با توجه به حضور لپیدوسیکلینها و نومولیتیده‌های بزرگ با پوسته‌های کشیده و حضور جلبک قرمز در آن می‌توان به این محدوده از نفوذ نورنسبت داد.

#### زون مزوفووتیک

این زون عنوان زیر زونی بین زونهای الیگوفوتیک و یوفوتیک در نظر گرفته می‌شود [۱۹]. بایوتا‌ها در این محدوده نفوذ نور بینایی‌بین دو زون مذکور نشان می‌دهند [۲۰]. در این محدوده نوری فرامینیفرهایی با دیواره هیالین و صدفی متورم تر حضور دارند. محدوده مورد نظر را می‌توان معادل با بخش‌های پایینی زون نوردار بالایی از باسی و همکاران [۲۸] که با حضور اشکال متورم و لنزی شکل هیالین که امکان حضور فرامهای پورسلانوز نیز در آن وجود دارد در نظر گرفت.

با توجه به این تفاسیر ریز رخساره‌های A2 و A3 را با توجه به داشتن قطعات کورالیناسه آ و روزنداران کفزی با پوسته عدسی شکل می‌توان در زون نوری الیگوفوتیک تا مزوفووتیک با انرژی کافی آب در نظر گرفت [۲۰]، ریز رخساره A5 و A6 را که حاوی فرامینیفرهای منفذدار با پوسته عدسی شکل همراه با فرامینیفرهای بدون منفذ مانند میلیولید می‌باشد را می‌توان به زون مزوفووتیک متعلق دانست (شکل ۴). براین اساس با توجه به شکل ۵، رسویگداری بخش زیرین سازند آسماری در زمان شاتین بطور متناوب در شرایط الیگوفوتیک و الیگوفوتیک تا مزوفووتیک و کمی مزوفووتیک صورت گرفته است.

#### زون یوفوتیک

این محدوده محیط‌های کم عمق با نور زیاد را شامل می‌گردد. موجوداتی که در این محدوده زیست می‌نمایند وابسته به نور زیاد می‌باشند. این زون به دو زیر زون یوفوتیک پایینی و یوفوتیک بالایی تقسیم می‌گردد [۱۸]. زون نوری بالایی بوسیله فرامهای پورسلانوز بزرگ اشغال شده است که معمولاً با داینوفسه آ، کلروفیسه آ و یا رودوفیسه آ همزیست می‌باشند [۲۵-۳۹]. کورالهای تکه‌ای همراه با فرامهای پورسلانوز بخش‌های عمیق‌تر زون یوفوتیک را اشغال می‌کنند [۴۰]. این زون معادل با زون نوردار بالایی از باسی و همکاران [۲۸] می‌باشد.

حضور کورالهای تکه‌ای همراه با فرامینیفرهای پورسلانوز در ریز رخساره A7 بخش‌های پایینی زون یوفوتیک را نشان می‌دهد و همچنین حضور اجتماعی از فرامهای پورسلانوز گویای بخش‌های بالایی زون یوفوتیک می‌باشد. ریز رخساره A8 این محدوده را نشان می‌دهد. (شکل ۴). با توجه به شکل ۵، بخش میانی و بالایی برش مورد مطالعه در زمان انتهای شاتین، آکی تانین و بوردیگالین در شرایط یوفوتیک تشکیل شده است.

### ۳-۴ دما

دما بعنوان مهمترین عامل فیزیکی موثر در پراکنش روزنдарان کفزی و تولید کنندگان کربنات می‌باشد [۱۸]. دمای آب تغییر در عرض جغرافیایی و عمق آب تغییر می‌کند [۱۹]. فرامینیفرها از مهمترین سازندگان کربنات‌های کم عمق مناطق حاره‌ای هستند و گاهی بیش از ۸۰ درصد حجم رسوبات را در این مناطق را تشکیل می‌دهند [۱۷]. فرامینیفرهای بتیک بزرگ شاخص آب و هوای حاره‌ای تا نیمه حاره‌ای با دمای ۱۸-۲۰ درجه سانتیگراد در ماههای گرم سال زیست می‌کنند. همچنین اکثر آنها در تابستان در دمای ۲۵ درجه سانتیگراد زندگی می‌کنند [۴۱]. از موجودات دیگر کربنات ساز جلبکهای قرمز می‌باشند که این موجودات نیز گویای آب و هوای گرمسیری می‌باشند [۴۲]. کورالها نیز بیشتر در آبهای گرم با محدوده دمایی بین ۲۳-۲۴ درجه سانتیگراد زندگی می‌کنند [۴۳].

در منطقه مورد مطالعه با توجه به فراوانی فرامینیفرهای بتیک بزرگ از قبیل لپیدوسیکلینا، اسپیروکلیپتوس، اپرکولینا، هتروستزینا، میوزیپسینوئیدس، آمفی سترزینا، آرکیاس، بورلیس و ... بعنوان اجزای اصلی تشکیل دهنده رسوبات کربناته در منطقه مورد مطالعه، حضور جلبکهای قرمز کورالینا سه آ، قطعاتی از مرجانها و همچنین وجود دانه‌های غیر اسکلتی چون اثیدها، که نشانگر آبهای گرم و محیط‌های گرمسیری و نیمه گرمسیری است [۱۸]، می‌توان شرایط رسوبگذاری سازند آسماری را در منطقه مورد مطالعه را در محیط گرمسیری تا نیمه گرمسیری در نظر گرفت. بازسازی عرضهای جغرافیایی دیرینه نیز نشانگر این نکته است که کوههای زاگرس در زمان الیگوسن-میوسن حدوداً در عرض جغرافیایی ۲۹ درجه شمالی (حاره‌ای) قرار داشته است [۴۴].

### ۳-۴ مواد غذایی

مواد غذایی یکی از عوامل موثر در پراکندگی روزنداران محسوب شده و نقش مهمی در تولید کربنات دارد [۱۸]. عرضه غذا یک فاکتور موثر اولیه برای اجتماعات فرامینیفرهای بتیک در آبهای کم عمق نواحی گرمسیری محسوب می‌شود. در این محیط‌ها، جلبکها (فتوتروف) و ارگانیزم‌های میکسوتروف با همزیست جلبکی تولید کنندگان اصلی رسوبات کربناته می‌باشند [۴۵-۳۸-۲۰]. محیط‌های دریایی بر این اساس به ۴ گروه الیگوتروفی (غذای کم)، مزوتروفی (غذای متوسط)، یوتروفی (غذای زیاد) و هایپرتروفی (حداکثر غذا) تقسیم می‌گردد [۴۵]. رسوبات سازنده پلاترتم کربناته سازند آسماری در یال جنوب شرقی تاقدیس خامی براساس گسترش و پراکندگی بايوتها تحت شرایط مختلفی از میزان ورود مواد غذایی قرار گرفته است. در شرایط غذایی الیگوتروفی تا کمی مزوتروفی در آبهای کم عمق محیط‌های گرمسیری تا نیمه گرمسیری

فرامینیفرهای بنتیک بزرگ، مرجانهای زوگزانلا و جلبکهای قرمز تولید کننده کربنات می باشند [۴۳-۴۲]، بنابراین با توجه به حضور فرامینیفرهای بنتیک بزرگ همراه با خردہ های مرجان و جلبک قرمز در قسمتهای پایینی سازند آسماری در زمان شاتین بطور عمده تحت این شرایط غذایی قرار داشته است (شکل ۶a). افزایش میزان مواد غذایی در شرایط یوتروفی سبب تمکر فیتوپلانکتون ها در ستون آب شده و میلیولیدها و فرامهای روتالین کوچک جایگزین فرامینیفرهای بزرگ می شوند [۲۲]. رشد کورالها و موجودات وابسته به نور در این شرایط کم شده و گونه های کم عمق تر و با تنوع کمتر دیده می شوند [۴۶].

چنین میزانی از مواد غذایی در قسمتهای بالای سازند آسماری بطور عمده در زمان آکی تانین و بوردیگالین با توجه به کمتر شدن میزان فرامینیفرهای بزرگ و موجوداتی که تحت تاثیر شرایط غذایی الیگوترووفی تا مزوترووفی می باشند و افزایش در میزان موجودات غیر وابسته به نور از قبیل اکینید، بریوزوئر و دوکفه ای بطور عمده تحت شرایط غذایی ضعیف مزوترووفی تا یوتروفی تشکیل شده است (شکل ۶b).

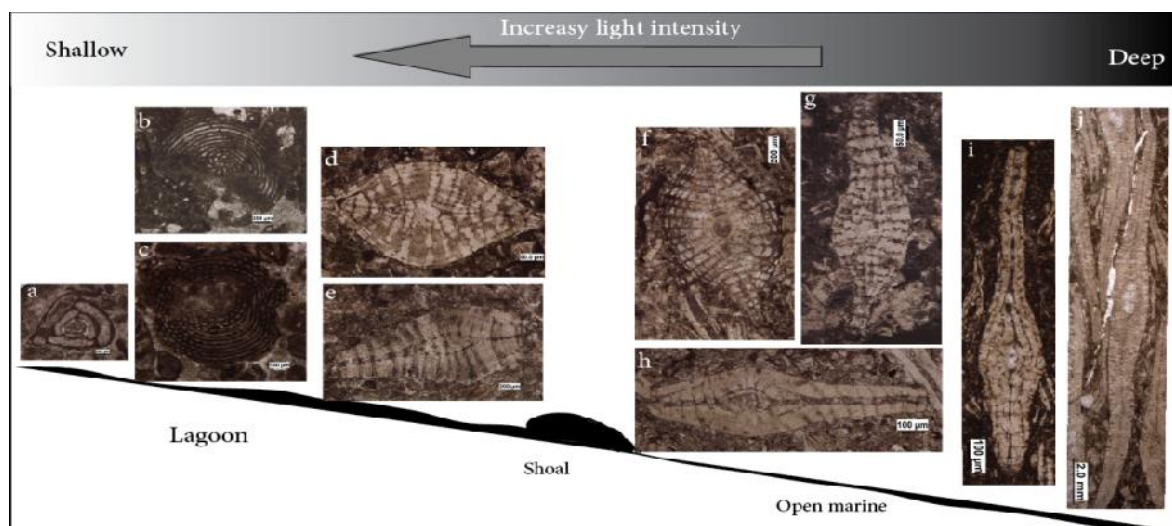


شکل ۶-a- شرایط غذایی الیگوترووفی-مزوتروفی ضعیف؛ فرامینیفرهای بنتیک بزرگ (پنیتوپلیس، آرکایاس، دندرتینا، کرن، قرمز، قارچ، قارچ قرمز، آمیخته ایکینید، بریوزوئر، دوکفه ای، بروزور) همراه با خردہ های مرجان و جلبک. شکل ۶-b- شرایط غذایی مزوترووفی ضعیف (قطعات اکینید، دوکفه ای، بروزور)

### ۳-۴-۵ عمق آب

بازسازی عمق دیرینه آب، جهت شناسایی مدل رسوبی، بازسازی سطح آب دریا و نیز جهت آنالیزهای حوضه ضروری می باشد [۴۷]. در اعمق مختلف، فرامینیفرها با ویژگی های مورفوژیکی خاصی زندگی می کنند. بطوریکه تغییر در عمق و سطح آب باعث تغییر در محدوده زندگی آنها می گردد [۴۳]. محدوده عمق فرامینیفرهای بزرگ به وابستگی نوری همزیست جلبکی درونی و شرایط هیدرودینامیکی محیط (امواج و جریانهای دریایی) بستگی دارد [۴۸]. میزان وابستگی جلبک درونی به نور محدوده عمقی خاصی را برای فرامینیفرهای همزیست دار فراهم می کند. از طرفی یک تطابق و ارتباطی نیز میان عمق زیستگاه فرامینیفرا و نوع همزیست جلبکی وجود دارد. گونه هایی که دارای همزیست جلبکی از نوع کلروفیسه آ هستند عمق تقریبا ۱۵ متری را اشغال می کنند که می توان به پنروپلیس ها و چندین گونه از آرکیاس ها اشاره نمود. گونه هایی که همزیست دیاتومه ای دارند در آبهای عمیق تر و کمتر از ۱۳۰ متری نیز قادر به زندگی می باشند. نومولیتیده ها، لپیدوسیکلینا، آمفی سترینا از جمله فرامینیفرهایی می باشند که دارای همزیست دیاتومه ای می باشند [۳۹]. تغییرات مورفوژیکی با تغییر

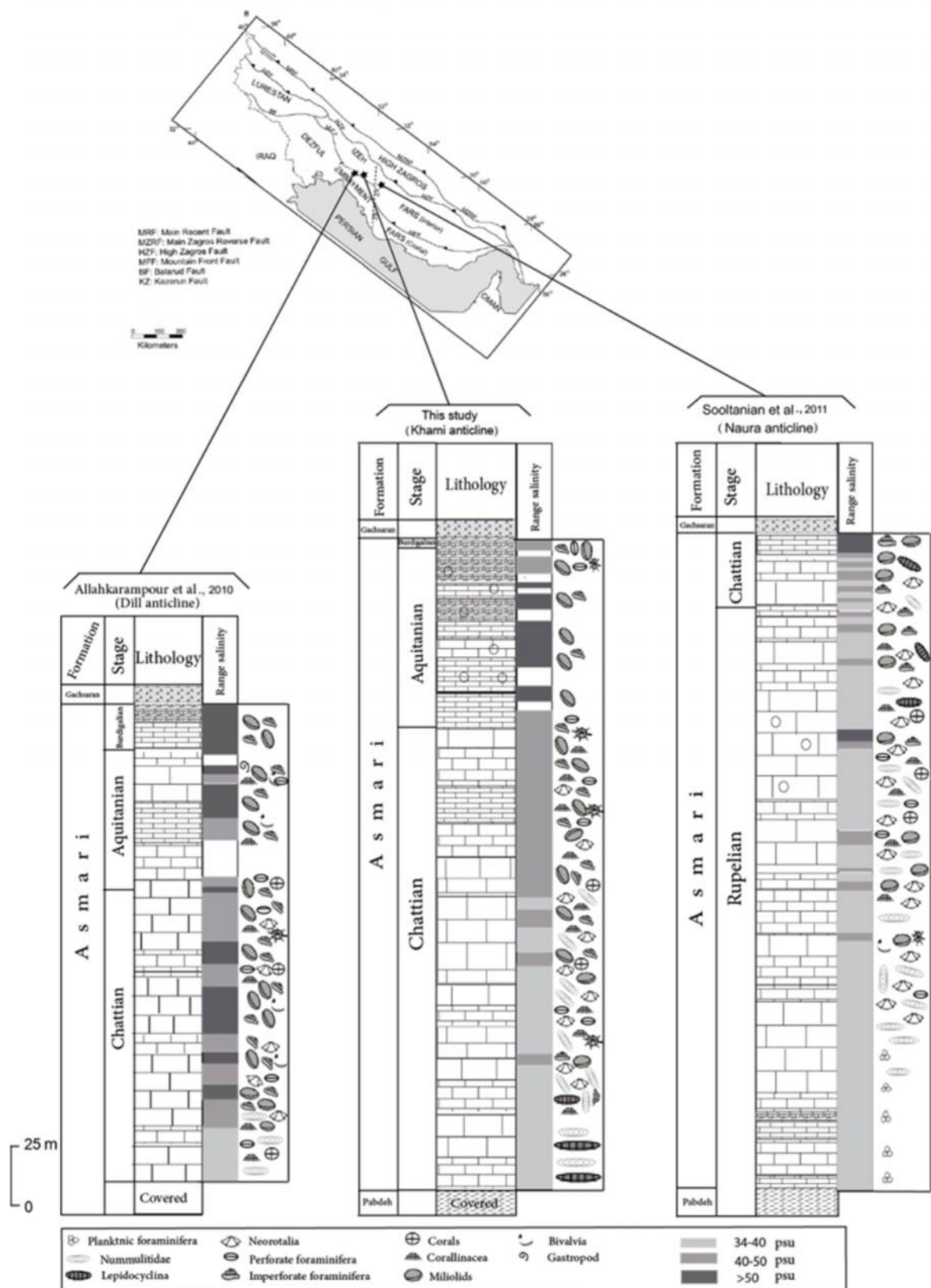
عمق زیستگاه‌های گونه‌های همزیست دار تغییر می نماید در نواحی کم عمق روزنداران هیالین با پوسته‌ای ضخیم تر با نسبت ضخامت به قطر زیاد حضور دارند. عاملی که در ایجاد این پوسته ضخیم نقش دارد، کاهش فتوستتر جلبکهای همزیست در شرایط نامساعد نوری (نور خیلی زیاد و خیلی کم) می باشد. در عمق‌های بیشتر پوسته روزنداران منفذ دار بزرگ و مسطح دارای کمترین میزان ضخامت به قطر است که در این شرایط روزنداران سطح پوسته خود را برای حداکثر جذب نور توسعه جلبک همزیست افزایش می دهد [۲۲]. فرآمهاهای پورسلانوزی چون میلیولیدها که قادر جلبک همزیست هستند می توانند در کم عمق ترین بخش‌های لاغونی با شوریهای بالا نیز زندگی کنند [۳۲]، ولی روزنداران بدون منفذ پیچیده ای چون آرکیاس‌ها که دارای جلبک همزیست هستند قادر به تحمل شوریهای بالا در اعماق کمتر نیستند و در عمق بیشتری نسبت به میلیولیدها زندگی می کنند [۳۱]. شکل ۷، جایگاه برخی فرامینیفرها را پلتفرم کربناته سازند آسماری در برش مورد مطالعه را نشان می دهد.



شکل ۷) ارتباط میان عمق آب و جایگاه زیست فرامینیفرها در پلتفرم کربناته سازند آسماری در برش یال جنوب شرقی تاقدیس خامی  
a- *Triloculina trigonula* (sample no. 100), b-*Peneroplis evolutus* (sample no. 108), c-*Archaias* sp. (sample no. 152), d-*Spiroclypeus blankenhorni* (sample no. 72) e-*Heterostegina* sp. (sample no. 109), f-*Nephrolepidina tourouqueri* (sample no. 20), g-*Spiroclypeus blankenhorni* (sample no. 21), h-*Heterostegina* sp. (sample no. 32), i-*Spiroclypeus blankenhorni* (sample no. 21), j-*Eulepidina dilatata* (sample no. 8).

### ۳-۵. مقایسه محیط رسوبگذاری برش مورد مطالعه با نواحی مجاور در حوضه زاگرس

بهمنظور مقایسه شرایط محیطی رسوبگذاری سازند آسماری در برش مورد مطالعه (شرق گچساران) با دو برش دیگر از ان سازند تاقدیس نالورا (جنوب فیروزآباد) [۱۴] و تاقدیس دیل (شمال گچساران) [۱۲] انتخاب شده است (شکل ۸). با توجه به شکل ۸، رسوبگذاری این سازند در تاقدیس نالورا (جنوب فیروزآباد) زودتر از دو برش دیگر و از زمان روپلین آغاز شده است. این رسوبیات از قسمتهای عمیق دریایی باز با حضور فرامهاهای پلانکتون آغاز شده است و سپس با کم عمق شدن آب و افزایش فونهای محیط محصور تر تا شاتین ادامه یافته است.



شکل ۸) مقایسه شرایط محیط رسوبگذاری سازند آسماری در این تحقیق (شرق گچساران) با برشهای دیگری از این سازند در فیروزآباد فارس و شمال گچساران

از لحاظ شوری برش مذکور در زمان روپلین بطور عمده تحت شرایط شوری نرمال دریایی قرار داشته است و تنها بخشهایی از قسمتهای میانی و بالایی آن تحت شرایط شوریهای بالاتر در محیط لagon نیمه محصور تا محصور در رمپ داخلی قرار

گرفته است. قسمتهای بالایی این برش در شاتین زیرین بطور متناوب شرایط شوری نرمال تا متوسط و انتهای برش در شاتین در محیط لagon مخصوص و شوری بالا رسوبگذاری کرده است. با توجه به حضور فراوان فرامینیفرهای بتیک بزرگ، جلبک قرمز و حضور کورالها این برش تحت شرایط غذایی الیگوتروفی تا مزوتروفی رسوبگذاری کرده است بعارتی شرایط غذایی کم تا متوسط در مدت زمان رسوبگذاری این سازند حاکم بوده است. طبق شکل ۸، فونهای دریایی باز و فرامهای هیالین در این برش حضور بیشتری نسبت به فونهای محیط مخصوص تر و فرامهای پورسلانوز دارند.

رسوبگذاری سازند آسماری در برش تاقدیس دیل (شمال گچساران) دیرتر از دو برش دیگر شروع شده است. ریز رخساره های آن از قسمتهای کم عمق دریایی باز با حضور فرامهای بتیک بزرگ و کورالیناسه آ در شاتین آغاز شده و تا محیط لagon مخصوص ادامه یافته است. در زمان شاتین این برش تحت شرایط شوری متوسط تا بالا قرار داشته است و شوری نرمال دریایی تنها در ابتدای مقطع و قسمتهایی زیرین این برش حاکم بوده است. در آکی تانین شوری متوسط تا بالا و در بوردیگالین نیز در شرایط شوری بالا و در لagon مخصوص رسوبگذاری کرده است. بعارتی سازند آسماری شمال گچساران بطور عمده در محیطهای لagon نیمه مخصوص تا مزوتروفی در شاتین، اوایل آکی تانین و بوردیگالین با توجه به حضور فرامهای بتیک بزرگ، خرد های کورال و کورالیناسه آ قرار داشته است و شرایط غذایی مزوتروفی ضعیف تا یوتروفی در انتهای آکی تانین حاکم بوده است. بعارتی شرایط غذایی از کم تا زیاد در حال تغییر بوده است. با توجه به شکل ۸ فونهای دریایی باز و فرامهای هیالین حضور کمتری نسبت به برش تاقدیس نالورا و خامی دارند. مقایسه ۳ برش مورد نظر حاکی از آن است که رسوبگذاری سازند آسماری در تاقدیس نالورا (فیروزآباد فارس) نسبت به دو برش دیگر در شرایط شوری پایین تر قرار داشته است. این موضوع حاکی از آن است که در این برش فونهای دریایی باز حضور بیشتری دارند و بخش عمده این سازند در محیط دریایی باز نهشته شده است و رخساره های دریایی باز حضور بیشتری نسبت به رخساره های محیط لagon نیمه مخصوص و مخصوص داشته اند. در برش تاقدیس خامی (شرق گچساران) رخساره ها همانطور که قبل به آن اشاره شد برخلاف تاقدیس نالورا (فیروزآباد فارس) از قسمتهای کم عمق دریایی باز با حضور لپیدوسیکلینهای مسطح آغاز شده و تا محیط جزر و مدي ادامه داشته است و در برش تاقدیس دیل این رسوبات برخلاف تاقدیس نالورا به طور عمده در محیط های لagon نیمه مخصوص تا مخصوص و بطور عمده در شوری بالا تا متوسط نهشته گشته است. بعارتی شاهد افزایش شوری آب، کاهش رخساره ها و فونهای دریایی باز از برش تاقدیس نالورا به سمت تاقدیس دیل رو برو می باشیم.

#### ۴. نتیجه گیری

- در نهشته های سازند آسماری در برش یال جنوب شرقی تاقدیس خامی به سن شاتین-بوردیگالین و با ضخامت ۲۷۰ متر، تعداد ۱۲ ریز رخساره جای گرفته شناسایی شد. ریز رخساره های شناسایی شده در این برش متعلق به ۴ محیط دیرینه شامل دریای باز، سد، لagon و پهنه جزرومدمی می باشند. بر مبنای این ریز رخساره ها و نحوه گسترش آنها رمپ هموکلینال برای رسوبگذاری این سازند پیشنهاد گشته است.

- براساس حضور فرامینیفرهای بتیک و سایر اجزای تشکیل دهنده رسوبات و نحوه توزیع آنها در سکوی کربناته این رسوبات تحت شرایط شوری ۳۴-۴۰ psu تا ۵۰-۴۰ psu، در محدوده نوری الیگوفوتیک، الیگو فوتیک تا مزو فوتیک و یوفوتیک و تحت شرایط غذایی الیگوتروفی-مزوتروفی ضعیف در زمان شاتین قرار داشته اند.

در زمان آکی تانین این برش شرایط شوری ۵۰-۴۰ psu و بیش از ۵۰ psu، در زون یوفوتیک و شرایط غذایی مزوتروفی ضعیف-یوتروفی رسوبگذاری کرده اند. نهشته های این سازند در زمان بوردیگالین نیز در شرایط غذایی مزوتروفی ضعیف-

یوتوفی، تحت شرایط شوری  $50-40$  psu و در محدوده نوری یوفوتیک در محیطی گرمی تا نیمه گرمی نهشته شده اند.

- مقایسه شرایط محیط رسوگذاری سازند آسماری در برش مورد مطالعه (شرق گچساران) با برشهای سازند آسماری در فیروزآباد فارس و شمال گچساران حاکی از کم شدن فونهای مرتبط با دریای باز و رخساره های مربوط به این محیط و افزایش رخساره های مرتبط با محیط محصورتر می باشد. از نظر میزان شوری آب نیز با توجه به در نظر گرفتن رخساره های مربوطه شاهد افزایش میزان شوری آب و کاهش شوری نرمال دریابی در طول رسوگذاری این سازند از فیروزآباد فارس (تاقدیس ناورا) به سمت شمال گچساران (تاقدیس دل) می باشیم.

## تشکر و قدردانی

نویسندها از زحمات سرکار خانم دکتر امیر شاه کرمی و داور محترم ناشناس سپاسگزاری می نمایند.

## ۷. منابع

- [1] Mcquillan, H., 1985, Fracture-controlled production in Gachsaran and Bibi Hakime fields SW Iran: in (eds.) P. O. Roehl, and P. W. Choquette, Carbonate Petroleum Reservoirs, Springer, Berlin, p. 513-523, 1985.
- [2] Busk, H. G and H. T. Mayo, 1918, Some notes on the geology of the Persian oilfields: J. Inst. Petrol. Technol., no. 5, v. 17, p. 5-26.
- [3] Richardson, P. K., 1924, The geology and oil measures of southwest Persia: J. Ins. Petr.ol Technol., v. 10, p. 256-283.
- [4] Thomas, A. N., 1924, The Asmari limestone of southwest Iran: In: 18<sup>th</sup> International Geological Congress, London, pt. 6, p. 35-55.
- [5] James, G. A and J. G. Wynd, 1965, Stratigraphic nomenclature of Iranian Oil Consortium agreement area: AAPG Bull, v. 49, p. 2182-2245.
- [6] Adams, T. D and F. Bourgeois, 1967, Asmari biostratigraphy: Iranian Offshore Oil Company Geological and Exploration, no. 1074, (unpublished).
- [7] Kalantary, A., 1986, Microfacies of carbonate rocks of Iran: National Iranian Oil Company, Geological laboratory publication, Tehran, v.11, 520 pp.
- [8] Motiei, H., 1993, Stratigraphy of Zagros. In: Treatisie of Geology of Iran: Geological Survey of Iran, no. 1, p. 281-289.
- [9] Ehrenberg, S. N., N. A. H. Pickard, G. V. Laursen, S. Monibi, Z. K. Mossadegh, T. A. Srana, A. A. M. Aqrawi, T. M.Mcarthur, M and M. F. Thirlwall Strontium isotop stratigraphy of the Asmari Formation (Oligocene-Lower Miocene), SW Iran, J Petrol Geol, v. 30, p. 107-128, 2007.
- [10] Seyrafian, A., 2000, Microfacies and depositional environment of Upper Asmari Formation at Dehdez area (a correlation across central Zagros Basin): Carbonates and Evaporites, v. 14, no 2, p. 121-129.
- [11] Seyrafian. A., and A. Hamedani, 2003, Microfacies and paleoenvironmental interpretations of the lower Asmari Formation (Oligocene), north-central Zagros basin, Iran: Neues Jahrbuch fuer Geologieund Palaeontologie, Monatshefte v.3, p. 164–174.
- [12] Allahkarampour Dill, M., A. Seyrafian, and H. Vaziri-Moghaddam, 2010, The Asmari Formation, north of the Gachsaran (Dill anticline), southwest Iran: facies analysis, depositional environments and sequence stratigraphy: Carbonates Evaporites, v.25, p. 145-160.
- [13] Rahmani, A., H. Vaziri-Moghaddam, A. Taheri, and A. Ghabeishavi, 2009, A model for the paleoenvironmental distribution of larger foraminifera of Oligocene-Miocene carbonate rocks at Khaviz Anticline, Zagros Basin, SW Iran: His. Biol., v. 21, p. 215-227.
- [14] Sooltanian, N., A. Seyrafian, and H. Vaziri-Moghaddam, 2011, Biostratigraphy and paleo-ecological implications in microfacies of the Asmari Formation (Oligocene), Naura anticline (Interior Fars of the Zagros Basin): Carbonates Evaporites, v.26, no. 2, p.167-180.
- [۱۵] بختیاری، س..، ۱۳۸۴،اطلس راههای ایران، موسسه جغرافیایی و کارتوگرافی گیاتاشناسی، مقیاس ۱:۱۰۰۰۰۰.
- [16] Farzipour-Saein, A., A. S. Yassaghi, and H. Sherkati Koyi, 2009, Basin evolution of Lurestan region in the Zagros fold-and-thrust belt Iran: J. Petrol. Geol., v. 32, p. 5-19.
- [17] Laursen, G. V., S. Monibi, T. L., Allan, N. A. H. Pickard, A. Hosseiney B., Vincent, Y., Hamon,, F. S. P. Van Buchem, A, Moallemi, and G. Druilhon, 2009, The Asmari Formation revisited changed stratigraphic allocation and new biozonation: First International Petroleum Conference and Exhibition, Shiraz, Iran.
- [18] Flugel, E., 2004, Microfacies of carbonate rocks: Springer, Berline, 976 p.
- [19] Hottinger, L., 1997, Shallow benthic foraminiferal assemblage as signals for depth of their limestons: Bulletin de la Societe Geologique de France, v. 168, p. 491-505.
- [20] Pomar, L. B., 2001, Ecological control of sedimentary accommodation: evolution from carbonate palaeobathymetry of corals and coralline algae in Cenozoic reef, In: (eds.) D. W. J. Bosence, and P. A. Allison, , Marine Palaeoenvironmental Analysis from Fossils, Geological Society, London, v.83, p. 181-229.
- [21] Geel, T., 2000, Recognition of stratigraphic sequence in carbonate platform and slope deposits, empirical models based on microfacies analysis of Palaeogene deposits in southeastern Spain, Palaeogeography, no. 155, p. 211-238.
- [22] Beavington-Penney, S. J., A. Racey, 2004, Ecology of extant nummulitids and other larger benthic foraminifera: applications in palaeoenvironmental analysis: Earth Science, v. 67, p. 219-265.
- [23] Barattolo, F., D. Bassi, and R. Romero, 2007, Upper Eocene larger foraminiferal-coralline algal facies from the Kloko Mountain (south continental Greece): Facies, v. 53, p. 361-375.
- [24] Wilson J. L., 1975, Carbonate facies in geological history, Springer, Berlin Heidelberg New York 471 p.

- [25] Romero, J., E. Cous, and J. Rossel, 2002, A model for the palaeoenvironmental distribution of larger foraminifera based on Late Middle Eocene deposits on the margin of the south Pyrenean basin (SE Spain): *Palaeogeogr. Palaeoclimatol. Palaeoecol.*, v. 179, p. 43-56.
- [26] Vaziri-Moghaddam, H., M. Kimiagari, and A. Taheri, A., 2006, Depositional environment and sequence Stratigraphy of the Oligo-Miocene Asmari Formation in SW Iran: *Facies*, v. 52, no. 1, p. 41-51.
- [27] Taheri, A., H. Vaziri-Moghaddam, and A., Seyrafian, 2008, Relationships between foraminiferal assemblages and depositional sequences in Jahrum Formation, Ardabil area (Zagros Basin, SW Iran): *Hist Biol*, v.20, p.191-201.
- [28] Bassi, D., L. Hottinger, and J. H. Nebelsick, 2007, Larger foraminifera from the Upper Oligocene of the Venetian area, North-East Italy: *Paleontology*, v. 50 (4), p. 845-868.
- [29] Amirshahkarami, M., H. Vaziri-Moghaddam and A. Taheri, 2007a, Sedimentary facies and sequence stratigraphy of the Asmari Formation at Chman-Bolbol, Zagros Basin, Iran: *J. Asian Earth Sci* 29, p. 947-959.
- [30] Renema, W., 2006, Large benthic foraminifera from the deep photic zone of a mixed siliciclastic-carbonate shelf off East Kalimantan, Indonesia, *Marine micropaleontology*, v. 58, p. 73-82.
- [31] Lee, J. J., 1990, Fine structure of rodophycean prophyridium purpureum insitu in *peneroplis pertusus* and *P. asicularis*: *J. Foramin. Res*, v. 20, p. 162-169.
- [32] Mossadegh, Z. K., D. W. Haig, T Allan, M. H. Adabi, A. Sadeghi, 2009, Salinity changing during Late Oligocene to Early Miocene Asmari Formation deposition, Zagros Mountains, Iran: *Palaeogeogr Palaeoclimatol Palaeoecol*, v. 272, p.17-36.
- [33] Brandano, M., V. Frezza, L. Tomassetti, and M. Pedley, 2008, Facies analysis and paleoenvironmental interpretation of the Late Oligocene Attard Member (Lower Coralline Limestone Formation), Malta: *Sedimentology*, p. 1-21.
- [34] Corda, L., and M. Brandano, 2003, Aphotic zone carbonate production on a Miocene ramp Central Apennines Italy: *Sed. Geol.*, v. 61, p. 55-70.
- [35] Rasser, M. W., C. Scheibner, and M. Mutti, 2005, A paleoenvironmental standard section for Early Ilerdian tropical carbonate factories (Corbieres, France; Pyrenees, Spain): *Facies*, v. 51, p. 217-232.
- [36] Logan, B. W., 1959, Environments, foraminiferal facies and sediments of Shark Bay, Western Australia: Unpublished PhD Thesis, The University of Western Australia, 287 p.
- [37] Hallock, P., A. C. Hine, G. A. Vargo, J. A. Elord, and W. C. Jaap, 1988, Platforms of the Nicaraguan rise: examples of the sensitivity of carbonate sedimentation to excess trophic resources: *Geology*, v. 16, p. 1104-1107.
- [38] Wilson, M. E. J and A. Vecsei, 2005, The apparent paradox of abundant foramol facies in low latitudes, their environmental significance and effect on platform development: *Earth Sci. Rev.*, v. 69, p. 133-168.
- [39] Leutenegger, S., 1984, Symbiosis in benthic foraminifera, speaiwcity and host adaptations: *J. Foramin. Res*, v. 14, p. 16-35.
- [40] Schuster, F., and U. Wielandt, 1999, Oligocene and Miocene coral founas from Iran: palaeoecology and palaeobiogeography: *Journal of Earth Science*, v. 88, p. 571-581.
- [41] Adams, C. G., D. E. Lee, and R. B. Rosen, 1990, Conflicting isotopic and biotic evidence for tropical sea-surface temperatures during the Tertiary, *Palaeogeogr Palaeoclimatol Palaeoecol*, v. 77, p. 289-313.
- [42] Pomar, L, M. Brandano, and H. Westphal, 2004, Environmental factors influencing skeletal grain sediment association: a critical review of Miocene examples from the western Mediterranean: *Sedimentology*, v. 51, p. 627-651.
- [43] Brandano, M., V. Frezza, L. Tomassetti and M. Cuffaro, 2009, Heterozoan carbonates in oligotrophic tropical water: The Attard member of the Lower Coraline limestone formation (Upper Oligocene, Malta): *Palaeogeogr Palaeoclimatol Palaeoecol*, v. 274, p. 54-63.
- [44] Heydari, E., J. Hassanzade, W. J. Wade, and A. M Ghazi, 2003, Permian-Triassic boundary interval in the Abadeh section of Iran with implications for mass extinction, Part 1-Sedimentology, *Palaeogeogr Palaeoclimatol Palaeoecol*, v. 193 (3), p. 405-423.
- [45] Mutti, M., and P. Hallock, 2003, Carbonate system along nutrient and temperature gradients: Some sedimentological and geochemical constraints. *Int J Earth Science*, v. 92, p. 465-475.
- [46] Hallock, P., 2001, Coral reefs, carbonate sedimentation, nutrients and global change: In (ed.) G. D. Stanley, *The history and sedimentology of ancient reef ecosystems*, Kluwer Academic/Plenum Publishers, New York, p. 37-427.
- [47] Perrin, C., D. W. J. Bosence, and B. Rosen, 1995, Quantitative approaches to palaeozonation and Cenozoic carbonate depositional facies: *Palaios*, v. 1, 55-64.
- [48] Hottinger, L., 1983, Processes determining the distribution of larger foraminifera in space and time: *Utrecht Micropal Bull*, v. 30, p. 239-253.

[49] Hallock, P and E. C. Glenn, 1986, Larger foraminifera, A Tool for palaeoenvironmental analysis of tropical waters: The Attard member of the lower Coralline Limestone Formation (Upper Oligocene, Malta): *Paleogeogr Paleoclimatol Paleoecol*, v. 274, p. 54-63.

# **Microfacies and palaeoecology of the Asmari Formation in southeast flank of the Khami anticline (east of Gachsaran) and Correlation with two other sections of the Asmari Formation in the Zagros Basin**

H. Ranjbar\*, A. Seyrafian, H. Vaziri-Moghaddam and A. Rahmani

\* hamta.ranjbar@gmail.com

Received: August 2013, Accepted: November 2014

## **Abstract**

In order to characterize the features of facies and depositional environment conditions of the Asmari Formation in southeast flank of the Khami anticline with a thickness of 270 m has been studied. the Field and laboratory studies, led to the identification 12 microfacies (nummulitidae lepidocyclus packstone/rodestone, corallinacea benthic foraminifera (perforate) packstone, bioclast neorotalia packstone, ooid grainstone, bioclast grainstone, miliolid neorotalia nummulitidae packstone, miliolid corallinacea coral floatstone/grainstone, bioclast benthic foraminifera (imperforate) packstone/grainstone, miliolid packstone/grainstone, sandy mudstone, intraclast mudstone) that deposited in continental slope, shoal, lagoon and tidal flat. In three different salinity facies environment from 34 psu to over 50 psu in oligoophotic to euphotic environment and oligotrophy-weak mesotrophy to eutrophy conditions in a homoclinal carbonate ramp platform recognized for the Asmari Formation at this study area. Correlation of the Asmari Formation in 3 section, A water salinity environmental correlation of the Asmari Formaion from Firozabad to east and north of Gachsaran reveals that 1- during Rupelian the Asmari Formation deposited in a normal water salinity environment, 2- while normal salinity water condition prevailed in Gachsaran area during Chattian, the Fars area was under higher marine salinity environment. Higher salinity environment developed during Aquitanian and Burdigalian in Gachsaran area.

**Key words:** Asmari Formation, Microfacies, Paleoecology, East of Gachsaran